

討 5 高炉の理論解析

名古屋大学工学部
名古屋大学大学院

○ 鞍巣
八木順一郎 堀尾正敬

1. 緒言

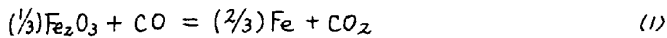
最近、高炉の操業改善および計算機制御が注目されており、ここでは、これらに有用な基礎資料を得る目的で、定常操業下での炉内状況を知るために静的モデル、および、操作変数に乱れが加わった場合の炉内プロセス変数の応答を調べるために動的モデルに基づいて得られた数値解析結果を報告する。

2. 高炉の静的モデル

ここでは、鉱石の間接還元反応と粒子・流体間の熱交換に着目し、反応速度および伝熱係数の変化に伴ない、炉内状況やあるいは出銑量やカーボン比などの影響が現われるかを調べる。次に著者らが従来、発表した数学的モデルで、 H_2 と H_2O の関与する反応を無視した場合と考慮した場合の計算結果と比較して、 H_2 と H_2O の高炉操業における役割を検討する。

2.1 鉱石の間接還元反応

従来、高炉の数学的モデルでは、著者らは、



の総括反応速度として(2)式を使用している。

$$R_1^* = \frac{\pi d_p^2 \phi^{-1} N_1 \cdot 273 (X - X^*) / 22.4 t}{(1/f_{g1}) + d_p \{ (1-f_g)^{1/3} - 1 \} / D_{11} + \{ k_1 (1 + 1/k_1) (1-f_g)^{2/3} \}^{-1}} \quad (2)$$

(2)式中の化学反応速度定数には従来報告されている実測データに基づいて求めた(3)式を用いてきた。

$$k_1 = \exp(6.3586 - 6878/Rt) \quad [cm/min] \quad (3)$$

この点に関連した多くの研究が報告されているが、その活性化エネルギー E_1 は約4~25 kcal/moleでかなり広範囲にわたっている。この相異は実験条件の違い、とくに試料の性質によるものと推定される。高炉に装入される鉱鉄石も物理的な性質により、その値が変動しているものと考えられる。(3)式および当研究室で実測して求めた(4)式をプロットすると、図1が得られ、両直線は901Kで交わっている。

上の算出に(3)、(4)式を用いた場合の各炉内状況をFig.2に示した。

E_1 が大きくなると、シャフト上部では鉱石の間接還元反応の進行がおそくなり、 f_g 、 X 、 Y の変化は小さくなるが、シャフト下部から炉腹、朝顔部にかけて高温になるに従い急激な変化が現われている。

$$k_1 = \exp(12.8864 - 18510/Rt) \quad [cm/min] \quad (4)$$

図2を求めた場合の操作条件および計算結果を表1に示した。(3)式にくらべて(4)式の場合の方が、出銑量 N_1 は大きく、カーボン比 C/F は小さくなっている。

2.2 粒子・流体間伝熱係数

従来、伝熱係数 α については単一球および充填層の場合に多くの研究が報告されているが、これ

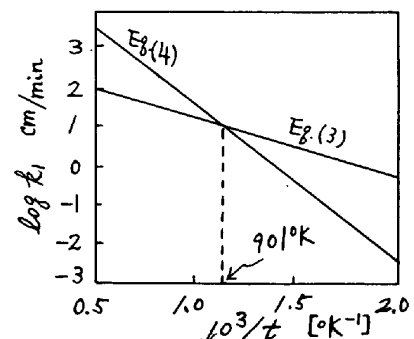


図1 k_1 のアレニウスプロット

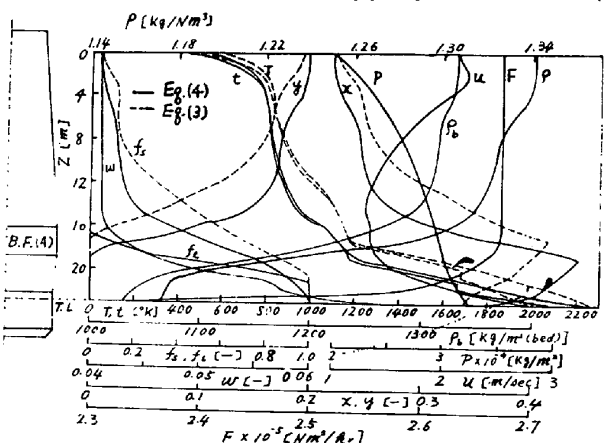


図2 k_1 を変化させた場合のプロセス変数の軌道分布

λ_p の実験式に高炉内の諸条件を適用して計算すると单一球の場合約40 kcal/m².hr.°C, 充填層の場合100~200 kcal/m².hr.°C 程度になる。さて、高炉モデルから求めた λ_p の軸方向分布から、 λ_p は炉内で、ほぼ一定みなすことができる。そこで λ_p をパラメータとして10~150 kcal/m².hr.°C の範囲で変化させ出銘量とカーボン比への影響、および、炉内状況の変化を検討した。結果の一例をTable 2に示す。 λ_p が大きくなるほど出銘量は若干増大し、カーボン比は減少する傾向がある。

表 1 図2に対する操業条件と計算結果

No	λ_p	F _b	P _o	d _{p1}	w _o	w _c	z _{H₂}	F _o	x _o	y _o	w _o	v _o	T _o	w _p	w _s	Cr
	Nm ² /min	Kg/m ²	cm	t/hr	t/hr	-	Nm ³ /hr	-	-	-	-	OK	t/hr	t/hr	Kg/t	
1	E _p (4)	2942.2	2.033×10^9	1.935	252.0	67.7	0.30	2.673×10^5	0.2213	0.1984	0.04096	0.01756	541.7	158.59	44.55	425.3
2	E _p (3)	"	"	"	248.0	67.4	"	2.668	0.2240	0.1949	0.04081	0.01750	572.1	158.07	43.90	430.0

表 2 不重々の λ_p の値に対する操業条件と計算結果

No	λ_p	F _b	P _o	d _{p1}	w _o	w _c	z _{H₂}	F _o	x _o	y _o	w _o	v _o	T _o	w _p	w _s	Cr
	Nm ² /min	Kg/m ²	cm	t/hr	t/hr	-	Nm ³ /hr	-	-	-	-	OK	t/hr	t/hr	Kg/t	
1	10	2942.2	2.033×10^9	1.935	240.0	67.4	0.30	2.668×10^5	0.2362	0.1835	0.04033	0.01728	604.9	151.02	42.64	443.63
2	50	"	"	"	248.0	67.3	"	2.666	0.2229	0.1957	0.04083	0.01750	576.5	156.07	43.89	429.45
3	100	"	"	"	253.0	67.7	"	2.673	0.2198	0.1998	0.04102	0.01758	537.4	159.22	44.70	423.66

2.3 H₂とH₂Oの関与する反応を無視したモデル

送風中の湿分添加と重油吹込みおよび酸素富化をないものとし、炉内には H₂, H₂Oは存在しないとしてモデルを立てよ。

(1) 炉頂・羽口間モデル

$$dT/dz = [A\{22.4C T g_2 + g_1 + 6(1-\varepsilon)\lambda_p(T-t)/\phi d_p + \pi D D(T-T_{we})]/\rho F(c+Tdc/dT) \quad (5)$$

$$g_1 \equiv (1-\alpha')(\Delta H_i^\circ)R_i^* + (1-\beta')(\Delta H_2^\circ)R_2^* + (1-\gamma')(\Delta H_4^\circ)R_4^*$$

$$g_2 \equiv (1.2507\bar{\zeta} + 0.7261\bar{\gamma})R_i^* + 0.5246R_2^* + 1.9768R_4^*$$

$$dt/dz = A\{c_1 t g_4 + g_3 + 6(1-\varepsilon)\lambda_p(T-t)/\phi d_p\}/\rho_b F_o \{c_s + t dc/dt\} \quad (6)$$

$$g_3 \equiv \alpha' R_i^*(-\Delta H_i^\circ) + \beta' R_2^*(-\Delta H_2^\circ) + \gamma' R_4^*(-\Delta H_4^\circ), \quad g_4 \equiv (16 + 12\bar{\zeta})R_i^* + 12R_2^* + 44R_4^*$$

$$df_b/dz = A R_i^*/3 F_o C_{Ro} \dots (7) \quad df_o/dz = A R_4^*/F_o C_{Ro} \dots (8) \quad df_c/dz = 12 A R_2^*/w_c \quad (9)$$

$$dx/dz = 22.4 A \{(5 + \bar{\zeta}x)R_i^* + (x-2)R_2^* + xR_4^*\}/F \dots (10)$$

$$dy/dz = 22.4 A \{(\bar{\zeta}y - \bar{\gamma})R_i^* + (y+1)R_2^* + (y-1)R_4^*\}/F \dots (11)$$

$$dF/dz = -22.4 A (R_2^* - \bar{\zeta} R_i^* + R_4^*) \quad (12)$$

$$df_b/dz = -A \{(16 + 12\bar{\zeta})R_i^* + 12R_2^* + 44R_4^*\}/F_a \quad (13)$$

$$dP/dz = \{f_k(1-\varepsilon)G^2/g_c \varepsilon^3 d_p g\}(T/T_o)(P/P) \quad (14)$$

$$f_k = 1.75 + 150(1-\varepsilon)/Rep, \quad G = SF/A, \quad Rep = d_p G/\mu \quad (15)$$

$$\rho = 1.2507 + 0.7264y \quad (15)$$

(2) 理論火焔温度

羽口レベルの熱収支を単純化されて、理論火焔温度 T_fは次式から求められる。

$$T_f = (\sqrt{(5.00468)^2 + 0.8/90 \times 10^{-3}(C-D) - 5.00468})/0.8/90 \times 10^{-3} \quad (16)$$

$$C \equiv 0.53/72(2.93T_c + 1.0 \times 10^{-3}T_c^2), \quad D = -13940.4 - F$$

$$F \equiv 8.6987T_b + 0.5343 \times 10^{-3}T_b^2 + 0.4990 \times 10^5/T_b$$

その他、羽口レベルでのガスの平均温度およびコーカス(融体)の温度については従来報告した式を使用する。

(3) 羽口レベルでの物質収支

羽口レベルでの反応は、 $2C(\text{coke}) + O_2 = 2CO$ だけになる。

$$F_N = (60)(0.79)F_b = 47.4F_b \quad \dots \dots \quad (17) \quad F_{CO} = (60)(0.420)F_b = 25.2F_b \quad \dots \dots \quad (18)$$

$$F_I = F_N + F_{CO}, \quad Z_I = F_N/F_I, \quad X_I = F_{CO}/F_I$$

(4) 炉全体の総括物質収支

炉頂からの装入物は鉱石、コークス、石灰石とし、ダストの排出はないものとする。

$$\text{Fe 収支} \quad \overline{W_p} \alpha_{Fe} = \overline{W_o} V_{Fe} + \overline{W_t} t_{Fe} \alpha_{Fe} \quad (19)$$

$$\text{C 収支} \quad F_{Me,C} + F_{Mn,C} = \overline{W_p} \alpha_C / 12 + F_o (X_o + Y_o) / 12 \quad (20) \quad \text{N}_2 \text{ 収支} \quad F_{CO_2} = (0.790)(60F_b) \quad (21)$$

$$\begin{aligned} \text{O}_2 \text{ 収支} \quad & (1.5) F_{Fe_2O_3} + (2) F_{Al_2O_3} + F_{CaCO_3} + (0.21)(60F_b) / 22.4 + F_{MnO} + \overline{W_p} \{ \alpha_{Si} / 28 + \alpha_{Mn} / (2)(54.9) \} \\ & = F_o (X_o + Y_o) / 22.4 \quad (22) \quad X_o + Y_o + Z_o = 1 \end{aligned} \quad (23)$$

$$\begin{aligned} \text{凝相の全物質収支} \quad & \overline{W_s} = (60.1) F_{SiO_2} + (56.1) F_{CaO} + (102.0) F_{Al_2O_3} + (40.3) F_{MnO} + (70.9) F_{MnO} + (79.9) F_{TiO_2} \\ & - \overline{W_p} \{ 60.1 \alpha_{Si} / 28 + 70.9 \alpha_{Mn} / 54.9 \} \end{aligned} \quad (24)$$

(5) 総括熱収支

$$T_o = (60F_b C_p' T_b + C_{so} \overline{W_t} t_o - C_{sp} \overline{W_p} t_p - C_{as} \overline{W_s} t_s + \sum M_i (-\Delta H_i)_f - \sum m_i (L_f) - Q_w + Q_s) / F_o C_p \quad (25)$$

3. 高炉の動的モデル

高炉では、装入物の滞留時間が長く、炉内プロセス変数も軸方向ばかりではなく半径方向にも分布しているため、その動的挙動の解析は複雑困難な問題となる。ここでは解析を簡単にするために、高炉を円筒形の何流式移動層に単純化して考え、粒子・流体間の熱交換と鉱石の溶融現象に着目したモデルを展開し、送風量、送風温度、装入コークス配合比にステップ変化を与えた場合に起る羽口先コークス温度、炉頂ガス温度、および溶融レベルの時間的変動を数值解析によって求め、さらに、溶融帯付近のコークス温度の各高さにおける応答を調べた。

3.1 热交換溶融モデルと基礎式

図.3に示すような物理的モデルに基づいて、基礎式を立てると、Eqs(26)～(33)のようになる。ここで用いた主な仮定は、粒子・流体共にピストン流、溶融速度は伝熱律速、固体の降下速度は羽口先でのコークス燃焼速度と溶融速度で決定されることである。

$$(\partial X / \partial \zeta)_c = 0 \quad (26)$$

$$(\partial \phi / \partial \zeta)_c = (1-\epsilon) A_2 (\Phi - \phi) - (1-\epsilon) A_2^* (\phi - \phi_M) \quad (27)$$

$$2V / \partial \zeta = -\epsilon A_1 \bar{\omega} \quad \dots \dots (28) \quad 2V / \partial \zeta = \epsilon A_1 \bar{\omega} \quad \dots \dots (29)$$

$$2\bar{\omega} / \partial \zeta = (A_3 / v) (\Phi - \phi) \quad \dots \dots (30) \quad 2\phi_M / \partial \zeta = (1-\epsilon) (A_3^* / V_M) (\phi - \phi_M) \quad \dots \dots (31)$$

$$(d\zeta / d\tau)_c = V \quad (32)$$

境界条件

$$\begin{cases} \zeta = 0 \text{ で } \phi = \phi_o = \text{const.}, X = X_o(\tau) \\ \zeta = 1 \text{ で } V = A_4 v, X = 1, \bar{\omega} = A_5 \phi_i + A_6 \bar{\omega}_b + A_7 \end{cases} \quad \left. \right\} (33)$$

ここで

$$\zeta = z / L, \quad \tau = \theta / \bar{\theta}_A, \quad \bar{\theta}_A = s_i L / V_{A0}' V_{M0}, \quad \phi = (t - t_m) / t_m, \quad \phi_M = (t_H - t_m) / t_m, \quad \bar{\omega} = (T - T_m) / t_m \quad (34)$$

$$V = V / V_{A0}', \quad V_M = V_H / V_{M0}', \quad v = v / V_A', \quad \epsilon = 1 \text{ (溶融帯 \(\zeta\))}, \quad = 0 \text{ (溶融帯以外 \(\zeta\))}$$

$$A_1 = S_{tg} / \lambda \phi_M, \quad A_2 = S_{tg} / \lambda, \quad A_2^* = S_{tg}^* \beta, \quad A_3 = S_{tg}, \quad A_3^* = S_t^*, \quad A_4 = X_{A0}, \quad A_5 = \lambda', \quad \beta = C_3 / C_1$$

$t: t \leq L$ 、 $\lambda = C_1 V_{A0} / C_2 V_A'$ 、 $\lambda' = C_1 V_i / C_2 V_i'$ 、 $S_{tg} = k_p A_i L / C_2 V_A'$ 、 $S_t^* = k_p^* A_2 L / V_{A0}' C_3$ 、 $\Delta \phi_M = \Delta H_M / C_1 t_m$ である。また、操作変数を明示するために、 $U_1 \equiv \bar{\omega}_b$ 、 $U_2 \equiv V$ 、 $U_3 \equiv X / A_4$ at $z=z_1$ と置く。

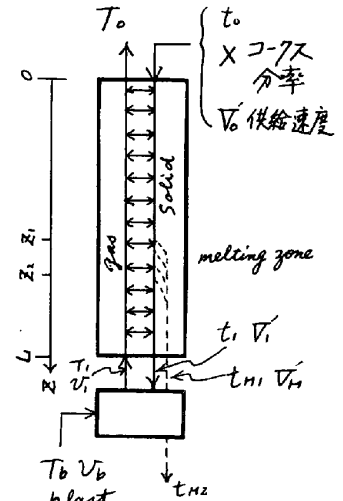


図.3 热交換・溶融モデル概略

3.2 非定常解析

解析的取扱いは困難であるため、特性曲線法を用いて数值計算を行なつた。溶融開始位置、終了位置をそれぞれ Z_1 、 Z_2 とすると、次式が成立する。

$$\frac{dZ_1}{dT} = V_0 - (\partial \phi / \partial T)_c / (\partial \phi / \partial S)_c \Big|_{S=S_1=0} \quad (35)$$

$$\frac{dZ_2}{dT} = V_1 - (\partial X / \partial T)_c / (\partial X / \partial S)_c \Big|_{S=S_2=0} \quad (36)$$

溶融帶は長さが短かく差分計算の適用が困難なため $Z_1 = Z_2$ とし、 $\phi = 0$ になると直ちに溶融が起き、その分だけガス温度が下がるものとして扱つた。また簡単のため $\phi_m = \text{const. } 0$ とした。パラメータの値は次のように入れた。

$$\Delta \phi_m = 0.32, \phi_0 = -0.869, St_{g,A} = 2.5, A_4 = 0.5, A_5 = 0.35, A_6 = 0.8333, A_7 = 0.45$$

計算結果を図4～6に示す。送風温度 U_1 に対するインディシャル応答では、羽口先コークス温度中には $T = 0 \sim 1$ の間に約90～95%変動し最終定常値に漸近しており、その挙動は通常一次系に似ている。この際、応答は羽口直上レベルから遅ざかるにつれてゆるやかになり、融体の熱的効果の如何によつては、この計算例のように溶融帶を境として、応答の速さに差異が現われてくる。ガス流量 U_1 が変化すると、熱流比および St_g 数の変化のために炉頂ガス温度に直ちに変動が現われることがわかる。溶融帶 Z_1 のore/cokeの変化は炉頂ガス温度、溶融帶高さ Z_1 に直ちに影響し、一定時間後羽口先コークス温度の変化を引き起こしている。計算時間は $\Delta t = 0.001, \Delta S = 0.008$ のとき HITAC 5020Eで約2分半を要した。

この動的挙動の解析では、反応を考慮していないため、高炉の挙動の十分な表現は得られていなかが、基本的な傾向を知る上で参考となろう。

(2節) 記号

A：炉断面積[m²]; C, ϕ : 粒子

